

age annual inputs of nitrogen, phosphorus and organic carbon based on amount of wastewater applied in farmland were calculated. Soil samples from 8-year potato starch processing wastewater farmland (application) and non-application farmland (non-application) were collected to analyze vertical profiles of hydrolyzed nitrogen, nitrate nitrogen and available phosphorus accumulation, distribution characteristics and leaching risk of nitrogen and phosphorus. **【Result】** Nitrogen and phosphorus applied to farmland with wastewater were up to 2 823 and 708 kg/hm² per year, which were 10.8 and 4.1 times of the inputs to non-application farmland, respectively. The total organic carbon applied to farmland from wastewater was 14.04 t/hm² per year, while the control group had no organic carbon input. After long-term application, contents of hydrolyzed nitrogen, nitrate nitrogen and available phosphorus in 0—250 cm soil layer were 48.9 to 140.0, 37.6 to 53.0 and 0.8 to 35.4 mg/kg, which were significantly higher than those of 10.8—73.2, 1.82—7.34 and 0.2—22.2 mg/kg in non-application farmlands. The content of hydrolyzed nitrogen decreased linearly with the increase of soil depth in both application farmland and control farmland. The nitrate nitrogen and available phosphorus contents slowly decreased with the increase of soil depth in application farmland, while in control farmland it sharply decreased from surface to the layer of 40—60 cm and then decreased slowly. Compared with the 0—20 cm soil layer, contents of hydrolyzed nitrogen, nitrate nitrogen and available phosphorus in 200—250 cm soil layer of application farmland decreased by 65.07%, 29.06% and 97.74%, while those of the control farmland were decreased by 85.24%, 75.20% and 99.10%, respectively. **【Conclusion】** Under the local climatic conditions of Guyuan, Ningxia, the risk of nitrogen and phosphorus leaching from farmland was small after long-term application of potato starch processing wastewater, but it caused serious waste of water and fertilizers. The application of potato starch processing wastewater to field should be scientifically determined according to “Regulations for soil testing and formulated fertilization” to avoid waste of nutrients in wastewater and environmental pollution risks.

Key words: food processing wastewater; waste water return; N and P accumulation and distribution; N and P leaching; farmland soil

农业是人类衣食之源、生存之本。但是近年来，农业面源污染成为环境污染的重要来源，污染贡献率逐年增加，已成为制约农业可持续发展和实现农村现代化的主要瓶颈。氮磷淋失作为农业面源污染的一种重要形式，越来越受到国内外学者的关注。研究表明，化肥的不合理投入是造成氮磷淋失污染的主要原因^[1-3]。此外，肥料品类也是影响氮磷淋失规律的主要因素^[4-6]。有研究表明，施用有机肥或有机肥与化肥配施，可以显著降低农田中的氮磷淋失量^[7-10]，同时改善土壤结构，增加土壤生物量，协调土壤中的水、肥、气、热，提高土壤肥力^[11-13]；但过量施用同样存在土壤氮、磷淋失，以及随地表径流污染地表水和地下水的环境风险^[14-16]。

马铃薯淀粉加工废水产生于马铃薯原料清洗过程、马铃薯淀粉与细胞汁水分离过程及清洗过程，是一种富含小颗粒淀粉、多糖、蛋白、磷、钾等的有机废水^[17]。美国加州食品加工商联盟 2006 年出版的《食品加工/冲洗用水的土地处理操作手册》(Manual of Good Practice for Land Application of Food

Processing/Rinse Water)(第二版)中，详细说明了马铃薯淀粉加工废水等食品加工废水的土地利用与监管细则，经过多年监测尚未发现对土壤、农作物及环境有不良影响。在我国西北、华北的部分马铃薯淀粉主产区，马铃薯淀粉加工废水常被作为肥料长期大量还田施用，但其施用方式及施用量与美国有很大区别。国内对于马铃薯淀粉加工废水还田利用的相关研究较少^[18]，尤其是长期大量施用马铃薯淀粉加工废水对土壤氮磷累积与淋失的影响尚未见报道。为此，本研究采集宁夏固原市某马铃薯淀粉企业流转农田(已连续施用马铃薯淀粉加工废水 8 年)的土壤样本，研究长期大量施用该废水对农田土壤氮、磷累积及淋失的影响，以期为马铃薯淀粉加工废水的科学还田提供指导。

1 材料与方法

1.1 马铃薯淀粉加工废水还田地块的基本情况

马铃薯淀粉加工废水还田地块为宁夏回族自治区固原市原州区某马铃薯淀粉加工企业的流转农

由表 4 还可知,还田地块和对照地块各剖面土壤中有效磷含量变化情况与硝态氮变化情况相似。对照地块土壤有效磷含量自表层的 22.2 mg/kg 急剧下降至 40~60 cm 土层的 1.1 mg/kg(降低 95%),然后再缓慢下降;至 200~250 cm 土层,对照地块有效磷含量仅为 0.2 mg/kg,相比表层有效磷含量下降幅度达到 99.10%。还田地块土壤有效磷含量下降趋势则相对平缓,但至 200~250 cm 土层,还田地块中有效磷含量也降至 0.8 mg/kg,相比表层土壤有效磷含量下降幅度达到 97.74%,与对照地块土壤有效磷含量的降幅相当。

3 讨 论

3.1 马铃薯淀粉加工废水施用与作物产量

水、肥是农业生产的关键要素,在农田空闲期或播种前进行灌溉,可以起到蓄水保墒的作用。各省根据当地气候条件制定了相应的灌溉定额,宁夏回族自治区在农田空闲期或播种前的灌溉定额(畦灌)一般为 1 050 m³/hm²。据统计,2016 年全国平均氮肥、磷肥的施用量分别为 138.64 和 49.81 kg/hm²^[19]。还田地块马铃薯淀粉加工废水的施用量平均约 3 000 m³/hm²,远远超过当地的灌水定额,而随废水平均施用量所带入的全氮约 2 823 kg/hm²、全磷(以 P₂O₅ 计)约 708 kg/hm²,同样远远超过作物对氮、磷的需求量及全国平均氮肥、磷肥投入量。这主要是因为马铃薯淀粉加工废水是企业生产原淀粉过程中产生的废水,对企业无其他价值,且废水还田过程几乎没有成本,导致废水施用量没有约束。

经调研,2016、2017 和 2018 年废水还田地块青贮玉米产量较对照地块分别增加 6.85%(还田地块 54.6 t/hm²,对照地块 51.1 t/hm²),6.17%(还田地块 48.2 t/hm²,对照地块 45.4 t/hm²)和 9.55%(还田地块 58.5 t/hm²,对照地块 53.4 t/hm²),平均增加 7.52%。这说明农田连续多年施用马铃薯淀粉加工废水后青贮玉米产量略有增加,而且在保证作物产量的前提下,废水还田可以实现减施(不施)化肥的效果。按对照地块化肥施用标准计算,马铃薯淀粉加工废水还田后每公顷可减施氮肥(尿素, N 含量 46.4%)564 kg,磷肥(过磷酸钙, 有效 P₂O₅ 含量 16%)1 075.5 kg。但同时也应注意,当地过量施用马铃薯淀粉加工废水以及畦灌的施用方式,不但造成氮、磷养分的严重浪费,还会增加氮、磷淋失的环境污染风险,因此应根据马铃薯淀粉加工废水的成

分特点,结合《测土配方施肥技术规范》,综合确定马铃薯淀粉加工废水及其他肥料的施用方案。

3.2 水肥施用与土壤氮磷淋失风险

硝态氮、有效磷含量是评价土壤氮、磷淋失的重要指标,对于相同土质的农田,肥料类型及施用量、降水与灌溉是影响氮、磷淋失的关键因素。研究表明,土壤氮、磷淋失量随施肥量及降水或灌溉量的增加而增加,减量施肥是降低氮、磷淋失的有效措施^[20-21]。与单独施用化肥相比,有机与无机肥配施可显著降低氮的淋失,但对降低磷流失的作用因试验条件不同而有不同的结论^[22-25]。本研究中马铃薯淀粉加工废水施用不同于一般的肥料施用和灌溉过程,近似水肥一体施用过程。马铃薯淀粉加工废水携带的氮、磷一边向下入渗,一边对已吸附在各层的氮磷向下淋滤。还田地块与对照地块各层土壤中硝态氮、有效磷含量自 60 cm 以下下降趋势较缓,说明当地降雨对氮、磷淋滤影响较小,这与当地干旱少雨的气候特征相符合^[26]。还田地块各层土壤中较高的硝态氮、有效磷含量主要由马铃薯淀粉加工废水入渗本身携带的氮、磷所致。

土壤本身对磷有很强的固定能力^[27],通过对比分析本研究中还田地块土壤硝态氮和有效磷含量的下降趋势、幅度也可证明,土壤对磷有更强的吸附固定作用。研究表明,土壤有效磷的淋失存在突变点,而突变点与土壤 pH、有机质含量有显著关系^[28];当土壤有效磷淋失超过突变点时,导致通过淋溶流失的有效磷量急剧提高^[29-30]。有报道表明,有效磷突变点为 63.7^[31]、80.3^[32]、47.8^[33] 和 53 mg/kg^[34]。本研究中还田地块耕作层有效磷含量为 35.4 mg/kg,低于上述研究中土壤有效磷淋失的突变点,因此在特大降雨的情况下发生磷大量淋失的可能性较小,但仍需注意施用方式,避免施用过程本身造成有效磷淋失。

4 结 论

(1)当地马铃薯淀粉加工废水还田施用量过大,随废水引入的氮、磷远超作物生长所需,造成水、肥资源的严重浪费。

(2)相对于对照地块,还田地块土层中氮、磷累积量更高,存在一定的环境污染风险,但在当地干旱少雨的气候条件下,还田地块农田土层中氮、磷淋失的风险较小。

(3)马铃薯淀粉加工废水作为“水肥”施用时,有利于作物(青贮玉米)增产,同时可以达到减施(不

- Liu L,Cui M X,Wu N,et al. The environmental impact and utilization of wastewater from potato starch industry [J]. Food and Fermentation Industries,2011,37(8):131-135.
- [18] 方海军,杨晓明,刘秉义,等.宁夏南部山区马铃薯淀粉加工废水农业利用试验 [J].农业科学学报,2010,31(1):36-43.
- Fang H J,Yang X M,Liu B Y,et al. Experiment of using the waste water from processing potato starch for agriculture in southern Ningxia [J]. Journal of Agricultural Sciences,2010,31(1):36-43.
- [19] 高晶晶,彭超,史清华.中国化肥高用量与小农户的施肥行为研究:基于1995—2016年全国农村固定观察点数据的发现 [J].管理世界,2019(10):120-132.
- Gao J J,Peng C,Shi Q H. Study on the high use of chemical fertilizer and the fertilization behavior of small farmers in China: based on the findings of the data of fixed observation points in rural areas of China from 1995 to 2016 [J]. Management World,2019(10):120-132.
- [20] 陶虹蓉,李银坤,郭文忠,等.不同灌溉量对砂壤温室黄瓜土壤溶液氮浓度及氮淋洗的影响 [J].中国土壤与肥料,2018(3):175-180.
- Tao H R,Li Y K,Guo W Z,et al. Effects of different irrigation amount on nitrogen concentration in soil solution and nitrogen leaching of sandy loam greenhouse cucumber [J]. Soil and Fertilizer Sciences in China,2018(3):175-180.
- [21] 薛亮,马忠明,杜少平,等.氮素用量对膜下滴灌甜瓜产量以及氮素平衡、硝态氮累积的影响 [J].中国农业科学,2019,52(4):690-700.
- Xue L,Ma Z M,Du S P,et al. Effects of application of nitrogen on melon yield, nitrogen balance and soil nitrogen accumulation under plastic mulching with drip irrigation [J]. Scientia Agricultura Sinica,2019,52(4):690-700.
- [22] 周炜,孙国峰,王鑫,等.沼液与有机肥配施条件下氮损失风险的研究 [J].农业环境科学学报,2019,38(8):1743-1750.
- Zhou W,Sun G F,Wang X,et al. Risk of nitrogen loss under the combined application of biogas slurry and organic fertilizer [J]. Journal of Agro-Environment Science,2019,38(8):1743-1750.
- [23] 陆欣欣,岳玉波,赵峥,等.不同施肥处理稻田系统磷素输移特征研究 [J].中国生态农业学报,2014,22(4):394-400.
- Lu X X,Yue Y B,Zhao Z,et al. Phosphorus loss and migration characteristics in paddy fields under different fertilization treatments [J]. Chinese Journal of Eco-Agriculture,2014,22(4):394-400.
- [24] 卜晓莉,汪浪浪,马青林,等.稻壳炭施用对太湖滨岸灰潮土氮磷淋失及土壤性质的影响 [J].生态环境学报,2019,28(11):2216-2222.
- Bu X L,Wang L L,Ma Q L,et al. Effects of rice husk biochar addition on nitrogen and phosphorus leaching and soil properties of gray fluvo-aquic soils in Taihu Lake Shore [J]. Ecology and Environmental Sciences,2019,28(11):2216-2222.
- [25] 龚静静,靳玉婷,胡宏祥,等.稻秆还田对油菜季径流氮磷及COD流失的影响 [J].水土保持学报,2019,33(4):24-29.
- Gong J J,Jin Y T,Hu H X,et al. Effects of rice straw incorporation on nitrogen, phosphorus and COD Loss in rape seasonal runoff [J]. Journal of Soil and Water Conservation,2019,33(4):24-29.
- [26] 张娟,李剑萍,王誉,等.西北干旱地区气候变化及其对草地生产潜力的影响 [J].生态科学,2020,39(3):182-192.
- Zhang J,Li J P,Wang Y,et al. Climate change in arid regions of Northwest China and its impact on potential grassland productivity [J]. Ecological Science,2020,39(3):182-192.
- [27] DeJager P C,Claassens A S. Long-term phosphorus desorption kinetics of an acid sand clay soil from Mpumalanga, South Africa [J]. Communications in Soil Science and Plant Analysis,2005,36:309-319.
- [28] 赵小蓉,钟晓英,李贵桐,等.我国23个土壤磷素淋失风险评估:Ⅱ.淋失临界值与土壤理化性质和磷吸附特性的关系 [J].生态学报,2016,26(9):3011-3017.
- Zhao X R,Zhong X Y,Li G T,et al. The evaluation of phosphorus leaching risk of 23 Chinese soils: II . The relationships between soil properties, P adsorption characteristics and the leaching criterion [J]. Acta Ecologica Sinica,2016, 26 (9): 3011-3017.
- [29] 陈子聪,章明清,陈防,等.氮肥对菜园土壤硝态氮淋溶流失的影响 [J].生态环境,2008,17(3):1230-1234.
- Chen Z C,Zhang M Q,Chen F,et al. Effect of N fertilizer on nitrate-nitrogen loss from garden soils [J]. Ecology and Environment,2008,17(3):1230-1234.
- [30] 章明清,姚宝全,李娟,等.福建菜田氮、磷积累状况及其淋失潜力研究 [J].植物营养与肥料学报,2014,20(1):148-155.
- Zhang M Q,Yao B Q,Li J,et al. N and P accumulation status and their leaching potential in vegetable fields in Fujian Province [J]. Journal of Plant Nutrition and Fertilizer,2014, 20 (1):148-155.
- [31] Mohsen J,Mahdi J. Assessment risk of phosphorus leaching from calcareous soils using soil test phosphorus [J]. Chemosphere,2017,171:106-117.
- [32] Maguire R O,Sims J T. Soil testing to predict phosphorus leaching [J]. Environment Quality,2002,31:1601-1609.
- [33] Wang Y T,Zhang T Q,O'Halloran I P,et al. Soil tests as risk indicators for leaching of dissolved phosphorus from agricultural soils in Ontario [J]. Soil Science Society of America Journal,2012,76(1):220-229.
- [34] Horta M D C,Torrent J. The Olsen P method as an agronomic and environmental test for predicting phosphate release from acid soils [J]. Nutrient Cycling in Agroecosystems,2007,77 (3):283-292.

网络出版时间:2020-11-25 16:54 DOI:10.13207/j.cnki.jnwafu.2021.05.012
网络出版地址:<https://kns.cnki.net/kcms/detail/61.1390.S.20201125.1136.009.html>

黄瓜白化突变体分析与突变基因 *al* 的精细定位

牛玉倩,李征

(西北农林科技大学 园艺学院,陕西 杨凌 712100)

[摘要] 【目的】对黄瓜白化叶片突变体进行生理和遗传分析,并对该突变基因 *al* 进行精细定位,为阐明影响黄瓜叶绿体发育的重要代谢或调控机制提供参考。【方法】以 2 个不同背景的黄瓜材料 Gy14 和 9930 为亲本,分别与携带白化突变基因的杂合材料 649 构建 F_2 群体。对 F_2 群体中的野生型和白化突变体进行光合色素含量测定及叶绿体结构观察,同时筛选多态性分子标记引物,结合基因组重测序技术,对突变基因 *al* 进行精细定位。【结果】对 *al* 突变体进行表型观察,发现刚出土时其子叶颜色浅黄,之后逐渐白化,确定该白化突变为致死突变性状。与野生型相比,*al* 突变体光合色素含量均极显著低于野生型,且叶绿素 a、叶绿素 b 含量平均降低了 90% 以上。通过透射电镜对叶肉细胞内叶绿体结构进行观察发现,与野生型相比,*al* 突变体子叶叶肉细胞中几乎无法观察到叶绿体的存在。对 *al* 突变体进行遗传分析发现,该白化性状是由一对隐性核基因控制的质量性状。通过 BSA、分子标记定位、基因组重测序和染色体步移等方法,最终将 *al* 基因定位于黄瓜第 7 号染色体上约 66 kb 区间内。【结论】黄瓜白化突变的形成与叶绿体的形成密切相关,由单基因突变产生,定位于黄瓜第 7 号染色体上。

[关键词] 黄瓜育种;白化突变体;光合色素;叶绿体;精细定位

[中图分类号] S642.203.2

[文献标志码] A

[文章编号] 1671-9387(2021)05-0088-08

Characteristic and fine-mapping of *albino cotyledons (al)* mutant in cucumber (*Cucumis sativus L.*)

NIU Yuqian, LI Zheng

(College of Horticulture, Northwest A&F University, Yangling, Shaanxi 712100, China)

Abstract: 【Objective】Physiological and genetic analysis as well as fine-mapping of a cucumber *albino cotyledons (al)* mutant were conducted to provide reference for elucidating important metabolic or regulatory mechanisms affecting chloroplast development. 【Method】Two cucumber materials Gy14 and 9930 with different backgrounds were used as parents to develop two F_2 populations with heterozygous material 649 carrying *al* mutant gene, respectively. Photosynthetic pigment content and chloroplast structure of wild-type and *al* mutants in the F_2 population were analyzed, and polymorphic molecular markers were screened for mapping. 【Result】Phenotypic observation of the *al* mutant showed that cotyledons were pale yellow and then gradually changed to albino before slowly withering and dying. The albino mutation was identified as a fatal mutation. Content of photosynthetic pigment of mutant was significantly lower than that of wild type, and contents of chlorophyll a and chlorophyll b decreased by more than 90% on average. The chloroplast structure in mesophyll cells was observed by transmission electron microscopy. Compared with wild type, chloroplast was hardly observed in cotyledon cells. Genetic analysis of the *al* mutant revealed that albino trait was a quality trait controlled by a pair of recessive nuclear genes. After BSA, ge-

[收稿日期] 2020-05-10

[基金项目] 国家自然科学基金项目(31672150, 31872111)

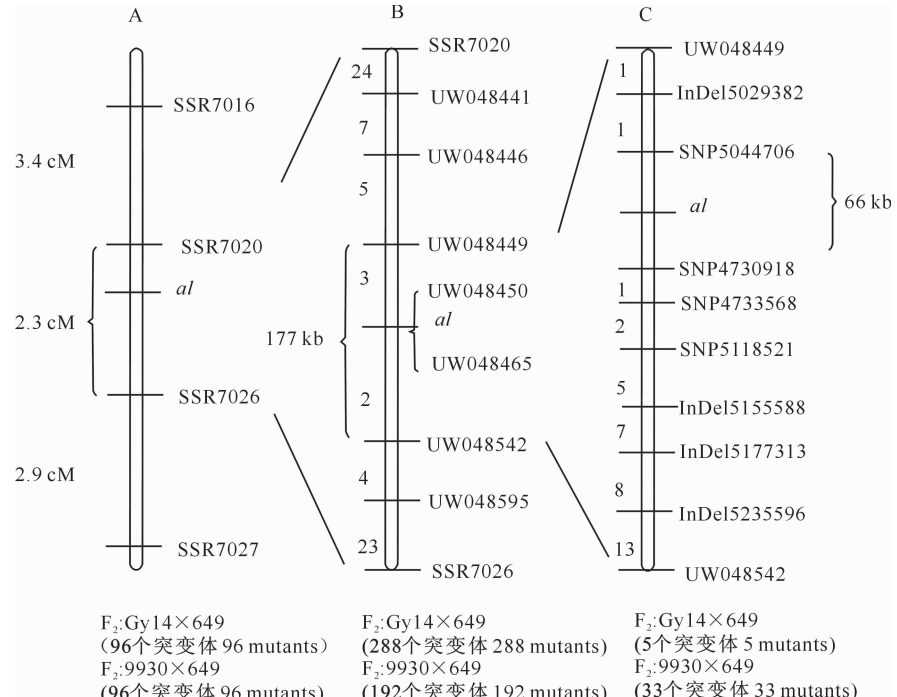
[作者简介] 牛玉倩(1995—),女,黑龙江大庆人,在读硕士,主要从事黄瓜育种研究。E-mail:316025894@qq.com

[通信作者] 李征(1982—),男,辽宁朝阳人,教授,博士生导师,主要从事黄瓜育种研究。E-mail:lizheng82@nwsuaf.edu.cn

因池中扩增出相应的清晰主带为准,最终在7号染色体上筛选出连续多态性SSR标记12对(SSR7001、SSR7011、SSR7012、SSR7013、SSR7014、SSR7016、SSR7020、SSR7025、SSR7026、SSR7027、SSR7029、SSR7031),故将目的基因初步定位于7号染色体上。

对Gy14×649、9930×649 F₂分离群体中分别混合构建的野生型基因池(AL-)和突变型基因池(alal)进行全基因组Bulk-seq测序。根据池间△SNP index的结果,在黄瓜7号染色体上发现一个潜在的差异连锁区间,与初定位结果相同,可在7号染色体上对目标基因 *al* 进行进一步定位。

选用Gy14×649 F₂群体中的96个 *al* 突变体单株对目的基因进行进一步定位分析发现,SSR7016、SSR7026距离目的基因位点最近,分居 *al* 两侧,两标记间距离约为5.7 cM;同时选用9930×649 F₂群体中96个 *al* 突变体单株进行定位,发现SSR7020、SSR7027距离目的基因位点最近,分居 *al* 两侧,两标记间距离约为5.2 cM(图5-A)。综合标记SSR7016、SSR7026、SSR7020、SSR7027在基因组上的位置分布及交换事件数量变化情况,将 *al* 基因定位于SSR7020和SSR7026之间,遗传距离约为2.3 cM(图5-A)。



- A. 利用小群体将突变基因 *al* 初步定位于标记 SSR7020 与 SSR7026 之间;B. 扩大群体将突变基因 *al* 定位于标记 UW048449 与 UW048542 之间,而 UW048450 和 UW048465 与 *al* 共分离;C. 开发标记,最终将突变基因 *al* 定位于标记 SNP5044706 与 SNP4730918 之间
- A. Using primary populations, *al* gene was mapped between marker SSR7020 and SSR7026; B. Using enlarged populations, *al* gene was mapped between marker UW048449 and UW048542, and co-segregated with UW048450 and UW048465; C. After developing markers, *al* gene was finally mapped between marker SNP5044706 and SNP4730918

图5 黄瓜白化突变基因 *al* 的精细定位

Fig. 5 Fine mapping of cucumber *al* gene

在初步定位的多态性标记SSR7020和SSR7026之间继续设计SSR分子标记,利用亲本9930、Gy14及Gy14×649、9930×649的F₁杂合个体和F₂突变个体的DNA对开发标记进行多态性筛选,发现7个SSR分子标记(UW048441、UW048446、UW048449、UW048450、UW048465、UW048542、UW048595)对Gy14×649 F₂群体存在多态性,而9930×649 F₂群体只有1个多态性分子

标记UW048595。在Gy14×649 F₂群体中,使用 *al* 基因两侧标记SSR7016和SSR7026筛选出288个交换株,并在上述7个多态性标记中进行分析,结合其表型观察,将包含 *al* 基因的物理区间缩小到UW048449与UW048542之间,约177 kb的区间内,包含5个交换单株,而标记UW048450和UW048465与 *al* 位点共分离。在9930×649 F₂群体中,使用 *al* 基因两侧标记SSR7020和SSR7027

筛选出 192 个交换单株，并用多态性标记 UW048595 分析交换单株，结合其表型最终将目的基因定位于 SSR7020 与 UW048595 之间，包含 33 个交换单株。因该群体定位区间远大于 $Gy14 \times 649$ F_2 群体定位区间，故以 UW048449 与 UW048542 定位区间为准(图 5-B)。

根据上述定位结果，由于标记 UW048450 和 UW048465 与 *al* 位点呈共分离，故根据黄瓜基因组数据库信息和全基因组 Bulk-seq 测序结果，在 UW048449 和 UW048542 两个 SSR 分子标记间继续开发具有多态性的 SNP 和 InDel 标记，用于进一步缩小目的区间。在 UW048542 侧继续向内开发标记，分别以两个 F_2 分离群体的突变体及 F_1 杂合个体为对照，在标记位置附近设计引物，扩增包含标记在内的序列，测序确定其是否具有多态性。用获得的多态性标记 InDel5235596 继续筛选 9930×649 F_2 群体的交换单株，将交换事件缩减至 13 个。以此标记为基础，继续开发多态性标记并对剩余群体的交换单株进行筛选，其中在 9930×649 F_2 群体中筛选出具有多态性的标记为 InDel5177313、InDel5155588、SNP5118521、SNP4733568、SNP4730918，在 $Gy14 \times 649$ F_2 群体中筛选出具有多态性的标记仅有 SNP4730918。经过筛选，在 9930×649 F_2 群体中，InDel5177313 标记获得 8 个交换单株，InDel5155588 标记筛选到 7 个交换单株，SNP5118521 标记筛选到 5 个交换单株，SNP4733568 标记筛选到 2 个交换单株；在 $Gy14 \times 649$ F_2 群体中，SNP4730918 标记筛选到 1 个交换单株。根据标记在基因组上所在位置以及不同标记上交换株的数目变化，可推断目的基因现定位于标记 SNP4730918 与 UW048449 之间。同时在 UW048449 侧筛选到多态性标记 InDel5029382 和 SNP5044706，以 F_2 群体突变体及 F_1 杂合个体为对照，在 2 个标记上各得到 1 个交换单株。根据标记间位置信息及交换数目，最终将 *al* 基因定位于 SNP5044706 与 SNP4730918 标记之间，区间大小为 66 kb(图 5-C)。

3 讨 论

已有研究表明，由于控制叶绿素生物合成或叶绿体发育的基因沉默或失活，直接或间接影响叶绿素的合成与降解，从而导致突变体叶片中的各色素含量发生变化，最终形成叶色突变体^[21]。除此之外，叶绿体结构发育异常也是形成叶色突变体的重

要因素，如水稻^[22-23]、小麦^[24]等。故对叶色突变体的研究可从叶绿素合成与降解途径、叶绿体结构等方面进行。

本试验对黄瓜 *al* 突变体和野生型的光合色素含量及叶绿体结构分别进行了测定与观察，结果表明 *al* 突变体的光合色素含量相对于野生型极显著降低，其叶绿体结构形态异常且数量大幅度减少，可以预测其候选基因与控制叶绿素合成或叶绿体结构发育相关。因白化突变体苗期致死，不能进行正常的生长发育，故本试验通过构建 $Gy14 \times 649$ 、 9930×649 两个 F_2 群体获得分离群体中的白化突变个体，从而保证了分子标记定位过程中隐性群体的数目。同时统计群体后代野生型与突变体数量进行遗传分析，结果表明该白化突变性状符合孟德尔遗传定律 3 : 1 分离比，证明该性状是由单隐性核基因控制的。本试验将两个分离群体 $Gy14 \times 649$ 、 9930×649 通过 BSA 混池法结合基因组重测序，准确地将黄瓜白化突变基因定位于 7 号染色体上。之后根据黄瓜基因组数据库预测信息及全基因组重测序结果，进一步开发标记并进行定位，最终将候选基因定位于 SNP5044706 与 SNP4730918 标记之间约 66 kb 的区间内。之后在此区间内继续扩大筛选突变个体数量，但不能筛选出更多的交换单株，可能是突变体基因组在这一区段发生交换重组事件的概率较低所致。

现有黄瓜叶色突变体相关报道表明，控制叶色突变性状的基因多参与编码叶绿素合成途径或与控制叶绿体结构的正常发育相关，如李万青等^[9]和 Gao 等^[10]发现，黄瓜叶绿素缺陷突变体 C528 的最终候选基因 *CsChlI* 参与编码 Mg-螯合酶的 CHLI 亚基；朱伟伟等^[25]研究认为，黄瓜芽黄突变体的形成与 CLpP 相关，且 CLpP 参与调控叶绿体发育、相关蛋白积累及光形态建成。故后期对定位区内候选基因进行预测时，可以根据该基因功能是否与叶绿素合成、叶绿体结构相关进行分析确定。董翔宇^[13]研究发现，黄瓜叶黄突变体 *yf* 的形成，同负责编码与类囊体合成途经蛋白的基因 *Cucsa_099260* 发生突变相关，该基因与本研究预测基因均位于黄瓜 7 号染色体上，但经过基因定位区间比对发现，该突变基因并不存在于本研究最终定位的 66 kb 区间内，说明本研究的目的基因与上述定位基因并非同一基因，后续试验需进一步对区间内候选基因功能进行分析，从而确定目的基因。

本试验利用共同亲本 649 与不同背景的两个黄

